

ΠΟΙΟΤΗΤΑ ΤΗΣ ΒΡΑΧΟΜΑΖΑΣ ΚΑΤΑ ΜΗΚΟΣ ΤΗΣ ΥΠΟ ΚΑΤΑΣΚΕΥΗ ΣΙΔΗΡΟΔΡΟΜΙΚΗΣ ΣΗΡΑΓΓΑΣ ΤΟΥ ΠΛΑΤΑΜΩΝΑ*

Μ. ΧΑΤΖΗΑΓΓΕΛΟΥ¹, Β. ΧΡΗΣΤΑΡΑΣ¹, Γ. ΔΗΜΟΠΟΥΛΟΣ¹, Γ. ΣΟΥΑΙΟΣ¹,
Α. ΚΙΛΙΑΣ¹, Β. ΜΑΝΩΛΑΚΟΣ²

ΣΥΝΟΨΗ

Η παρούσα εργασία αναφέρεται στη διερεύνηση της ποιότητας της βραχομάζας όπου κατασκευάζεται η σιδηροδρομική σήραγγα του Πλαταμώνα. Περιγράφεται η γεωλογία της περιοχής όπως αποτυπώθηκε κατά τη διάνοιξη της σήραγγας και ταξινομείται ποιοτικά η βραχομάζα με εφαρμογή των μεθόδων RMR (Bieniawski, 1976) και GSI (Hoek, 1974, Hoek et al., 1998). Τέλος, τα αποτελέσματα των δύο μεθόδων συγκρίνονται για όλους τους σχηματισμούς της περιοχής μελέτης και διατυπώνεται εμπειρική σχέση με ικανοποιητικό συντελεστή συσχέτισης.

ABSTRACT

The present paper refers to the investigation of the rock mass at the area of the under construction railway tunnel of Platamon. The new railway line connects the northern boundaries of Greece with Athens. The height of the tunnel is 13m. The tunnel is 2666m long and consists the following parts: a) 2+430 – 3+818: Tunnel, b) 3+818 – 3+880: Cut and Cover, c) 3+880 – 4+345: Tunnel, d) 4+345 – 4+412: Cut and Cover, e) 4+412 – 5+096: Tunnel.

For the construction and the safe support of the tunnel, the rock mass was investigated using the RMR and GSI geomechanical methods. According to our investigation, the rockmass is generally characterized as poor to very poor. However, in some parts the quality could be characterized as good or intermediate. The results were compared and empirical relationships were established.

KEY WORDS: Σήραγγα (tunnel), ταξινόμηση βραχομάζας (rock mass classification), σήραγγα Πλαταμώνα (tunnel of Platamon)

ΕΙΣΑΓΩΓΗ

Η διάνοιξη της σήραγγας του Πλαταμώνα έγινε για να εξυπηρετήσει τις ανάγκες μιας διπλής σιδηροδρομικής γραμμής υψηλής ταχύτητας με ηλεκτροκίνηση. Η σήραγγα είναι μονού κλάδου και διπλής κατεύθυνσης. Η ύψος της νέας γραμμής ξεκινά από τα όρια των Νέων Πόρων και του Πλαταμώνα και κατευθύνεται βόρεια διασχίζοντας τον Πλαταμώνα (Εικ. 1). Το ύψος της σήραγγας είναι περίπου 13m. Η σήραγγα, η οποία έχει συνολικό μήκος 2666 m, ξεκινά από τη Χ.Θ. 2+430 του έργου και περιλαμβάνει τα παρακάτω τμήματα:

1. Χ.Θ. 2+430 - 3+818: Υπόγεια εκσκαφή μήκους 1.388m
2. Χ.Θ. 3+818 - 3+880: Cut and Cover (ανοικτό όργυμα με επανεπίχωση) μήκους 62m
3. Χ.Θ. 3+880 - 4+345: Υπόγεια εκσκαφή μήκους 465m
4. Χ.Θ. 4+345 - 4+412: Cut and Cover μήκους 67m
5. Χ.Θ. 4+412 - 5+096: Υπόγεια εκσκαφή μήκους 684m

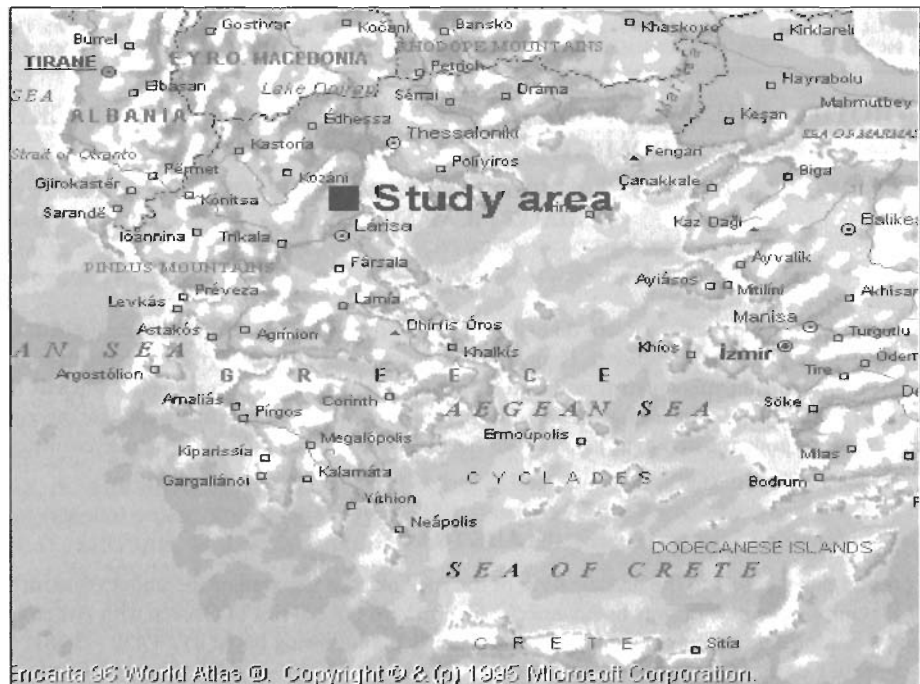
ΓΕΩΛΟΓΙΚΑ ΣΤΟΙΧΕΙΑ ΤΗΣ ΠΕΡΙΟΧΗΣ

Η περιοχή αποτελείται από οφειολιθίους επιφθημένους στα Τριαδικοίους αιγαίους πετρώματα του ανθρακικού καλύμματος της Πελαγονικής καθώς και επικλυσιγγενώς τοποθετημένους κοριτιδικούς ασβεστόλιθους. Κατά την επανθήση, που έλαβε χώρα στο Ανώ Ιουρασικό, σχηματίστηκε χαρακτηριστικό οφειολιθικό μέγμα (me-lange, Monntgård, 1985, IFME, 1987). Η διάταξη των γεωλογικών σχηματισμών κατά μήκος της σήραγγας, δίδεται την γεωλογική τομή της Εικόνας 2.

* ROCK MASS QUALITY ALONG THE TUNNEL OF PLATAMON UNDER CONSTRUCTION

1. Τμήμα Γεωλογίας, Αριστοτελείου Πανεπιστήμιου, Θεόφραστος Τμήμα Γεωλογίας, Α.Π.Θ.

2. ΕΡΓΑ ΟΣΕ Α.Ε., Καρδάλια 27, Αθήνα



Encarta 98 World Atlas ©. Copyright © 2 (c) 1995 Microsoft Corporation.

Euz. 1. Γεωγραφική θέση της περιοχής

Fig. 1. Location of the study area

Η σήραγγα, στην είσοδο της (Χ.Θ. 2+430) διαπερνά έναν έντονα τεκτονισμένο οφειολιθικό σχηματισμό αποτελούμενο, στη θέση αυτή, κυρίως από αμφιβολίτες. Από τη Χ.Θ. 2+550 μέχρι τη Χ.Θ. 2+800 περίπου, η σήραγγα διαπερνά παραποτάμες αποθέσεις του Τεταρτογενούς, οι οποίες βρίσκονται σε τεκτονική επαρή με τους οφειολιθικους, του οποίους η σήραγγα συναντά εκ νέου στο τμήμα από Χ.Θ. 2+800 μέχρι 2+900 περίπου.

Στη συνέχεια, η σήραγγα διασχίζει, σε μήκος περίπου 100 m., γκριζόνες - γκριζόλευκους λεπτοπορωματώδεις έως μεσοπορωματώδεις κορητιδικούς ασβεστόλιθους, οι οποίοι είναι τοποθετημένοι επάνω σε νεογενείς σχηματισμούς (Χ.Θ. 3+000 - Χ.Θ. 3+350).

Τα Νεογενή ίζηματα της περιοχής αποτελούνται από αποθέσεις ωρχής θάλασσας, οι οποίες αποτελούνται από στρωσίες πολ.ύ στιφωρών και σκληρών καστανών αμμωδών αγρύλων και ύλης με καστανοχρώματας και τοπικά γκριζόπορώνες πυκνές αργιλώδεις άμμους με χάλκες και μικρά τεμάχια κρυσταλλικών αιθερολιθίων και υπερβασικών πετρωμάτων. Ένας δύρκος Κορητιδικού ασβεστόλιθου πιθανόν να ολοισθήσει κατά το νεογενές από γειτονική περιοχή. Τα ίζηματα του Νεογενούς εμφανίζονται στις θέσεις από Χ.Θ. 2+950 μέχρι Χ.Θ. 3+450.

Από τα στοιχεία που έχουμε συλλέξει, είναι πιθανό ο παραπάνω σχηματισμός που χαρακτηρίστηκε ως «νεογενή ίζηματα» να μην είναι τόποτα άλλο παρό τεκτονικό λατυποπαγές των ασβεστόλιθων στην επαφή τους με τους οφειολιθικούς σχηματισμούς. Η διερεύνηση όμως αυτού του γεωλογικού προβλήματος αποτελεί ξεχωριστό θέμα, πέραν των ορίων και του στόχου της παρούσας έρευνας.

Μετά τα νεογενή ίζηματα η σήραγγα διαπερνά οφειολιθίους αντίτοιχους με αυτούς της Χ.Θ. 2+430. Στη συνέχεια, και μέχρι τη Χ.Θ. 3+750, οι οφειολιθοί οινανταπείνονται με ανθρακιά τριαδικο-ιουρασικά πετρώματα δίνοντας την εντύπωση ενός τεκτονικού μίγματος (melange) που σχηματίστηκε κατά την επόμενη των οφειολίθων επάνω στο ανθρακικό κάλυψμα της Πελαγονικής.

Οι σχηματισμοί της Πελαγονικής αποτελούνται από εναλλαγές μαύρων και λευκών μαρμάρων με πλήθος τεκτονικών αυσυνεχειών, γκριζόμαρμους χρώματος ασβεστόλιθους, λατυποπαγές ασβεστόλιθους, καστανόλευκους κρυσταλλικούς ασβεστόλιθους, κατακερματισμένα τεμάχια μαρμάρων ανάμεσα στα οποία υπάρχει λεπτόκοκκο υλικό ανθρακικής σύστασης καθώς και λευκά έντονα αποσαθρωμένα μάρμαρα. Οι ανθρακικοί αυτοί σχηματισμοί παρουσιάζουν ποικιλες διευθύνσεις κλίσεως, έντονο τεκτονισμό και πτύχωση. Οι σχηματισμοί αυτοί είναι μεσοστρωματώδεις και κατά θέσεις παχυστρωματώδεις και αποτελούν τμήμα του Ανατολικού ανθρακικού καλύμματος. Η πρωτίστης αναστέλλεται στο ζιαστικό ποταμό.

ΥΠΟΜΝΗΜΑ

Τεταρτογενές (Ημελλινικό τεκτονικό κάλυμμα)

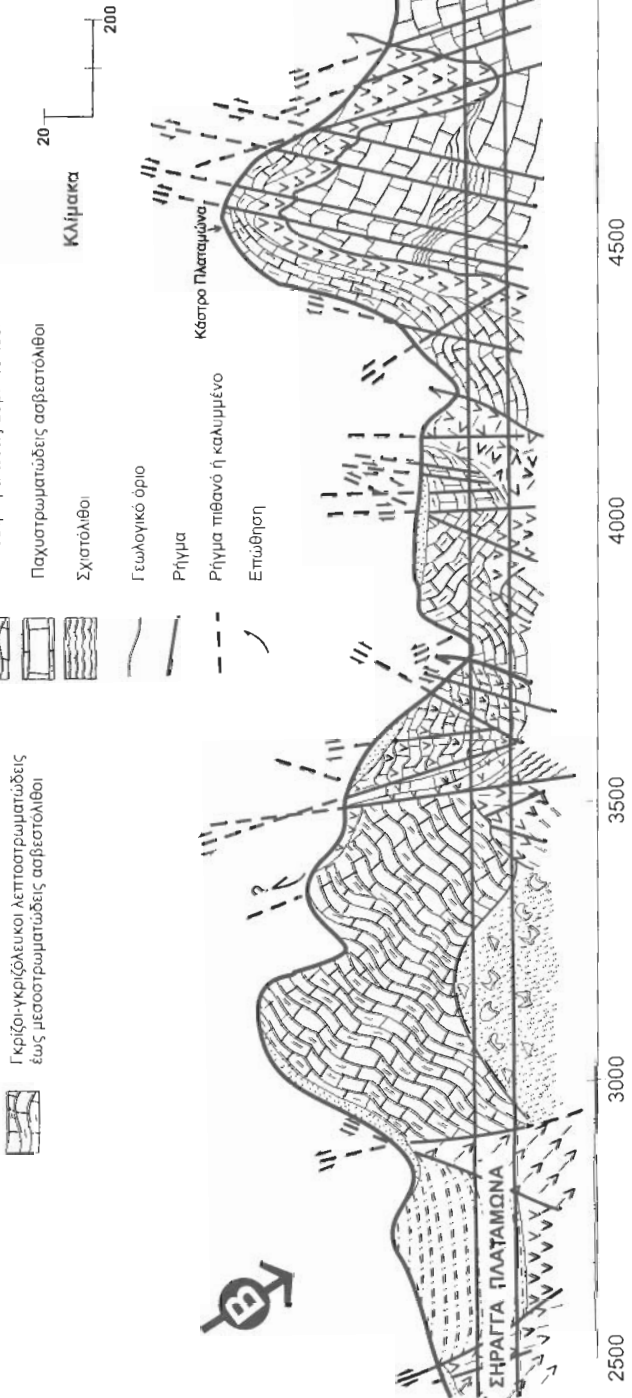
Αλλούβιακές αποθέσεις		Σερπε νησίτες
Παραποτάμιες αποθέσεις		Αμφιβολίτες
Νεογενές		Οφειολιθιοί

Χεραίοι και λιμναίοι οχηματομοί
(βλεπε σχολιασμό στο κείμενο)

Κρητιδικό

Γκρέζο-γκρέζολευκοί λεπτοποταμιώδεις
έως μεσοποταμιώδεις ασβεστολιθοί

Τριαδικό - Ιουρασικό ανθρακικό καλύμμα της Πελαγονικής ζώνης



Ψηφιακή Βιβλιοθήκη "Θεόφραστος" - Τμήμα Γεωλογίας. Α.Π.Θ.

Εικ. 2. Γεωλογική τομή κατά μήκος της ανήσυχης Σηράγγας Πλαταμώνα.
Fig. 2. Geological section along the tunnel of Platamon

Κατά την επίκλιση του Μ.-Α. Κρητίδικου, μαίδοι και γκρίζοι έως γκριζόλευκοι (λεπτοστρωματώδεις έως μεσοστρωματώδεις) ασβεστόλιθοι τοποθετήθηκαν, σε απυμφωνία, επάνω στα προϋπάρχοντα ανθρακικά πετρώματα (Χ.Θ. 3+850 – 4+100). Στο τμήμα από Χ.Θ. 4+100 μέχρι 4+200 η σήραγγα συναντά σερπεντίνες του τεκτονικού καλύμματος. Τέλος, από Χ.Θ. 4+200 μέχρι την έξοδο της σήραγγας (Χ.Θ. 5000) η σήραγγα τριαδικούς μεσοστρωματώδεις ασβεστόλιθους, επωθημένους οφειολίθους (Χ.Θ. 4+400 και Χ.Θ. 4+800) και τριαδικούς παχυστρωματώδεις ασβεστόλιθους με ενοτρούσιες σχιστολίθουν. Επί των σχηματισμών αυτών, τοποθετούνται κρητιδικοί ασβεστόλιθοι.

ΓΕΩΜΗΧΑΝΙΚΗ ΤΑΞΙΝΟΜΗΣΗ ΒΡΑΧΟΜΑΖΑΣ KATA RMR (BIENIAWSKI, 1976)

Για την ταξινόμηση της βραχομάζας κατά RMR χρησιμοποιήθηκαν οι παρακάτω πληροφορίες: Η αντοχή του συμπαγούς πετρώματος, η παρούσια του υπογείου νερού, η ποιότητα του πετρώματος RQD και η κατάσταση των ασυνεχειών. Η κατάσταση των ασυνεχειών περιγράφεται με την απόσταση των ασυνεχειών, το μήκος τους, το άνοιγμά τους, την τραχύτητα των τοιχωμάτων τους, την αποσάθρωση των τοιχωμάτων και τη σκληρότητα του υλικού πλήρωσης.

Τα παραπάνω στοιχεία συλλέχθηκαν σε κάθε βήμα της εκσκαφής, με στόχο τη συστηματική ταξινόμηση της βραχομάζας κατά μήκος της σήραγγας. Από την αξιολόγηση των μετρήσεων πεδίου διαπιστώνεται ότι η ποιότητα της βραχομάζας, στο τμήμα από Χ.Θ.2+430 έως Χ.Θ.4+222, είναι φτωχή έως πολύ φτωχή με μερικές θέσεις μόνο μετριαίς ποιότητας. Στις θέσεις αυτές συναντώνται οφειολίθικοι σχηματισμοί, χαλαρά ίζηματα του Τεταρτογενούς, ίζηματα του Νεογενούς, έντονα κατακερματισμένοι ασβεστόλιθοι της Πελαγονικής ζώνης ηλικίας Τριαδικού-Ιουρασικού, και γκρίζος έως γκριζόλευκος ασβεστόλιθος του Κρητιδικού.

Από Χ.Θ.4+222 έως Χ.Θ.4+459 οι ασβεστόλιθοι της Πελαγονικής και οι οφειλούμενοι που συναντώνται χρασκτηρίζονται μέτριας έως φτωχής ποιότητας. Από Χ.Θ. 4+459 έως Χ.Θ. 4+696 συναντώνται παχυστρωματώδεις ασβεστόλιθοι του Κρητιδικού, ενδιαστρώσεις σχιστολίθων. Η βραχομάζα σ' αυτή τη θέση χρασκτηρίζεται ως μέσης ποιότητας βραχομάζα με θέσεις καλής αλλά και φτωχής ποιότητας. Η φτωχή ποιότητα της βραχομάζας οφείλεται στην εμφάνιση των σχιστολίθων σχηματισμών. Από Χ.Θ.4+696 έως Χ.Θ.4+782 η βραχομάζα είναι φτωχή και κατά θέσεις πολύ φτωχή εξαιτίας της επώθησης του οφειολίθικου σχηματισμού στον παχυστρωματώδη ασβεστόλιθο. Τέλος στις Χ.Θ.4+782 έως Χ.Θ.5+079 ξανασυναντάται ο παχυστρωματώδης ασβεστόλιθος του Κρητιδικού και γι' αυτό η βραχομάζα χρασκτηρίζεται μέσης έως καλής ποιότητας. Τέλος, από Χ.Θ.5+079 έως Χ.Θ. 5+096 οι ασβεστόλιθοι που εμφανίζονται είναι ιωχυρά κερματισμένοι και η βραχομάζα χρασκτηρίζεται φτωχής έως πολύ φτωχής ποιότητας. Άρα, οι παραποτάμες αποθέσεις του Τεταρτογενούς, οι χερσαίοι και λιμναίοι σχηματισμοί του Νεογενούς, οι σχιστολίθοι και οι σχηματισμοί που συνιστούν το οφειολίθικο μέγμα (mélange), απαιτούν πρόσθετα μέτρα υποστήριξης. Δευτερογενώς ευαίσθητοι σχηματισμοί είναι οι οφειολίθικοι σχηματισμοί, ο γκριζόχρωμος κρυσταλλικός ασβεστόλιθος του Κρητιδικού, και οι λεπτοστρωματώδεις έως μεσοστρωματώδεις ασβεστόλιθοι Τριαδικού-Ιουρασικού (Πίνακας 3).

Στο σύνολό της η ποιότητα της βραχομάζας χρασκτηρίζεται φτωχή έως πολύ φτωχή με τοπικές θέσεις καλής έως μέτριας ποιότητας.

ΓΕΩΤΕΧΝΙΚΗ ΤΑΞΙΝΟΜΗΣΗ ΒΡΑΧΟΜΑΖΑΣ ΣΥΜΦΩΝΑ ΜΕ ΤΟΝ ΔΕΙΚΤΗ ΓΕΩΛΟΓΙΚΗΣ ΑΝΤΟΧΗΣ (GSI)

Η γεωτεχνική ταξινόμηση σύμφωνα με τον Γεωλογικός Δείκτης Αντοχής (GSI, Hoek et al, 1998) στηρίζεται στην ποιοτική εκτίμηση του συνόλου της βραχομάζας κι όχι μόνο των μηχανικών χαρακτηριστικών της. Ο χαρακτηρισμός της βραχομάζας βασίζεται στην ταξινόμηση της δομής του πετρώματος, σύσον αφορά τους όγκους που σχηματίζονται εξαιτίας των κατατυμέσων και των διακλάσεων, καθώς και την επιφανειακή κατάσταση των ασυνεχειών. Έτοις, γνωρίζοντας την κατάσταση των τοιχωμάτων των διακλάσεων και τη δομή της επιφανειας δημιουργείται μια βάση για την περιγραφή μιας ενδείας σειράς τύπων βραχωδών μιαζών από όπου μπορεί να εκτιμηθεί η τιμή του Δείκτη Γεωλογικής Αντοχής (Hoek, 1994).

Έναντι της μεθόδου RMR, η μέθοδος αυτή στηρίζεται περισσότερο στην γεωλογική παρατήρηση φαίνεται όμως να καταλήγει σε περισσότερο συντηρητικά αποτελέσματα. Έτσι, σύμφωνα με τη μελέτη των Hoek et al, 1998, για το σχιστόλιθο της περιοχής Αθηνών, η μέθοδο GSI έδωσε τιμές μικρότερες από τις τιμές που έδωσε η μέθοδος RMR.

Πίνακας 1. Τιμές ταξινόμησης κατά RMR και GSI κατά μήκος της σήραγγας (τιμές RMR: από αρχείο «ERGOSE»)
Table 1. RMR and GSI rock mass classification along the tunnel (RMR values: according to “ERGOSE Co” archives)

X.Θ. - X.Θ.	RMR	GSI	X.Θ. - X.Θ.	RMR	GSI
2+430-2+525	0-20	10-20	4+445-4+459	42-47	40-45
2+525-2+884	0-20	<10	4+459-4+464	40	35-40
2+884-2+930	35-38	30-35	4+464-4+492	30-38	30-35
2+930-2+979	25-27	30-35	4+492-4+502	29	30-35
2+979-3+349	0-20	10-20	4+502-4+581	0-20	20-25
3+349-3+354	26	20-25	4+581-4+621	45-51	45-50
3+354-3+386	30-32	35-40	4+621-4+641	32-35	35-40
3+386-3+480	25-28	25-30	4+641-4+683	45-52	35-40
3+480-3+550	0-20	10-20	4+683-4+696	21-29	30-35
3+550-3+583	0-20	20-25	4+696-4+752	0-20	10-20
3+583-3+608	25	20-25	4+752-4+760	42	40-45
3+608-3+668	0-20	20-25	4+760-4+765	69	50-55
3+668-3+685	21-29	25-30	4+765-4+780	50	45-50
3+685-3+703	41-45	35-40	4+780-4+782	70	50-55
3+703-3+755	0-20	20-25	4+782-4+792	57-60	45-50
3+750-3+800	0-20	15-25	4+792-4+795	47	40-45
3+800-3+818	0-20	15-20	4+795-4+802	60	45-50
3+880-3+933	16-18	20-25	4+802-4+815	66-69	50-55
3+933-3+946	16-18	20-25	4+815-4+825	57	45-50
3+946-3+955	31	30-35	4+825-4+829	47-48	40-45
3+955-4+005	18-19	20-25	4+829-4+900	0-20	20-25
4+005-4+025	30-38	35-40	4+900-4+909	0-20	25-30
4+025-4+076	41-45	40-45	4+909-4+911	34	30-35
4+076-4+175	0-20	15-20	4+911-5+012	43-51	40-45
4+175-4+189	21-23	25-30	5+012-5+051	61-64	50-55
4+189-4+216	0-20	20-25	5+051-5+064	45-49	40-45
4+216-4+222	22-24	25-30	5+064-5+073	61	50-55
4+222-4+345	0-20	20-25	5+073-5+079	48	40-45
4+407-4+439	0-20	25-30	5+079-5+089	36-38	35-40
4+439-4+445	36-37	35-40	5+089-5+095	0-29	25-35

Πίνακας 2. Εκτίμηση του μέτρου παραμόρφωσης
Table 2. Estimation of the deformation modulus.

Είδος σχηματισμού	Μονοαξονική αντοχή σ_c (MPa)	Μέτρο Παραμόρφωσης, E_m (GPa)	Κατηγορία βραχονάρας
Παραποτάμιες αποθέσεις Τεταρτογενούς	4	0,2-0,35	C
Χερσαίοι και λιμναίοι σχηματισμοί Νεογενούς	6	0,24-0,43	B ⁻ - C ⁺
Σερπεντινίτες Ηοελληνικού τεκτονικού καλύμματος	29	0,54-1,71	B
Γκρίζοι-γκριζόλευκοι λεπτοστρωματώδεις έως μεσοστρωματώδεις ασβεστόλιθοι Κρητιδικού	21	0,83-3,45	A ⁻ - B
Παχυστρωματώδεις ασβεστόλιθοι Κρητιδικού	52	2,28-9,6	A ⁻ - B
Εναλλαγές μαύρων και λευκών μαρμάρων Τριαδικού-Ιουρασικού	52	1,28-1,71	B ⁺
Γραφιτικός σχιστόλιθος Τριαδικού-Ιουρασικού	24	0,64-0,76	B ⁻

Πίνακας 3: Ταξινόμηση της ποιότητας των γεωλογικών σχηματισμών κατά RMR και GSI κατά μήκος της σήραγγας.

Table 3. Rock mass classification according to methods of RMR and GSI.

Γεωλογικός σχηματισμός	Εύρος GSI	Κατηγορία ταξινόμησης RMR	Εύρος RMR
Παραποτάμιες αποθέσεις	<10	V	0-20
Χερσαίοι και λιμναίοι σχηματισμοί	10-20	V	0-20
Σερπεντινίτες	10-30	V - IV	0-23
Αμφιβολίτες	25-35	V - IV	0-38
Οφειολίθοι	10-35	V - IV	0-29
Σχιστόλιθοι	10-20	V	0-20
<i>Ασβεστολιθικά πετρώματα Πελασγονικής ζώνης</i>			
Γκριζόχρωμος κρυσταλλικός ασβεστόλιθος	20-25	V	16-18
Εναλλαγές μαύρων και λευκών μαρμάρων	20-30	V - IV	0-25
Λατυποπαγής ασβεστόλιθος	25-40	IV - III	21-45
Τεμάχι ορυκτών σε αμμώδες υλικό	10-20	V	0-20
Έντονα κατακερματισμένοι λεπτοστρωματώδεις έως μεσοστρωματώδεις ασβεστόλιθοι	20-25	V	16-18
Τεκτονικό λατυποπαγής	10-20	V	0-20
Εξαλειωμένα μάρμαρα χωρίς στρώση	10-20	V	0-20
<i>Ασβεστολιθικοί Κρητιδικού</i>			
Γκριζοί-γκριζόλευκοι λεπτοστρωματώδεις έως μεσοστρωματώδεις ασβεστόλιθοι	20-45	III - IV - V	0-48
Παχυστρωματώδεις ασβεστόλιθοι	30-55	IV - III - II	21-70

Οι τιμές που προέκυψαν από την ταξινόμηση που πραγματοποιήσαμε στη σήραγγα του Πλαταμώνα, φανούνται στον Πίνακα 1. Σύμφωνα με την ταξινόμηση κατά GSI η βραχονάρα μπορεί να χαρακτηριστεί στο σύνολό της ως βραχονάρα μέσης έως μικρής αντοχής.

Η τιμή του GSI σε συνάρτηση με τη μονοαξονική συμπιεστική τάση σ_c μπορεί να οδηγήσει στην εκτίμηση του μέτρου παραμόρφωσης E_m της βραχονάρας σύμφωνα με τη σχέση:

$$E_m = (\sigma_c / 100)^{1/2} \times 10^{(0.0001 \cdot 10^6 - 10)} \quad (E_m \text{ σε GPa, και } \sigma_c \text{ για } \sigma_c < 100 \text{ MPa, Hoek & Brown, 1998})$$

Αμφιβολώντας ότι' ούφη και τα αποτελέσματα της δοκιμής σημειευκής φόρτισης που πραγματοποιήσαμε σε αντιπροσωπευτικά δείγματα, εκτιμήσαμε το μέτρο παραμόρφωσης E_m που δίνεται στον Πίνακα 2, για τους σχηματισμούς που μελετήσαμε κατά μήκος της μήλος.

Φημιώδη Βιβλιοθήκη "Θεόφραστος" - Τμήμα Γεωλογίας, Α.Π.Θ.

Στον Πίνακα 3 δίνεται συνοπτικά συγχρόνικη ποιοτική ταξινόμηση βάση των μεθόδων RMR και GSI, κατ

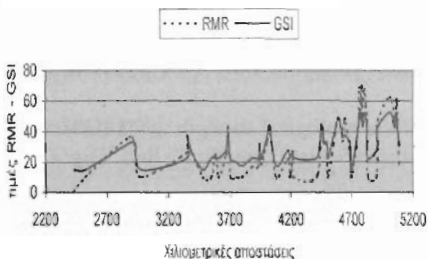
γεωλογικό σχηματισμό όπου μπορούν να διεγνωστούν οι αιθενέστεροι σχηματισμοί.

ΣΥΖΗΤΗΣΗ ΤΩΝ ΑΠΟΤΕΛΕΣΜΑΤΩΝ

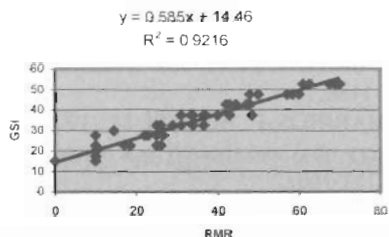
Συγκρίνοντας τα αποτελέσματα των δύο μεθόδων για τους διαφόρους σχηματισμούς, που δίδονται στον Πίνακα 3, φαίνεται ότι το εύρος των τιμών GSI είναι πιο περιορισμένο από το εύρος των τιμών RMR δίνοντας έτοι πιο λεπτομερή και συγχρόνως πιο γειαλιστική περιγραφή των σχηματισμών συνθηκών ποιότητας της βραχογαλάζας. Τοποθετώντας τις τιμές RMR και GSI (που εκτιμήθηκαν κατά μήνας της σήραγγας, στις ίδιες χρονικές θέσεις) σε διάγραμμα συσχέτισης προκύπτει η σχέση $GSI = 0,585RMR + 14,46$ με συντελεστή συσχέτισης $R^2 = 0,92$ (Εικ.3).

Σύμφωνα με την παραπάνω εμπειρική σχέση, οι τιμές GSI και RMR ταυτίζονται για πτωχής ποιότητας βραχογαλάζα, στα ώρα των κατηγοριών IV – III ($GSI \approx RMR \approx 35$). Η παραπάνω εμπειρική σχέση εκτιμήθηκε από μετρήσεις που πραγματοποιήθηκαν τόσο σε οφειολίθινά όσο και σε ανθρακικά πετρώματα.

α) Σύγκριτη μεταβολή τιμών RMR & GSI



β) RMR-GSI



Εικ. 3. Διαγράμματα a) συγκριτικής μεταβολής και b) συσχέτισης των τιμών RMR και GSI, κατά μήνας της σήραγγας των Πλαταμώνα.

Fig. 3. Diagrams of a) comparable change and b) correlation of RMR and GSI values along the tunnel

Με βάση τα αποτελέσματα των δύο παραπάνω ταξινομήσεων, ο σχηματισμός των οφειολίθων στις Χ.Θ.2+540-2+870 και Χ.Θ.3+500-3+550 απαιτεί αυξημένα μέτρα υποστήριξης. Στο συμπέρασμα αυτό καταλήγουν και οι δυο ταξινομήσεις. Οι οφειολίθοι στις Χ.Θ.4+200-4+350 και Χ.Θ.4+830-4+900 απαιτούν ισχυρότερα μέτρα υποστήριξης σύμφωνα με τη μέθοδο RMR, ενώ οι αισβετούλιθοι που βρίσκονται στις Χ.Θ.3+680, Χ.Θ.3+900-4+000, Χ.Θ.4400, Χ.Θ.4+580-4+700 (παχυστρωματώδης αισβετούλιθος), Χ.Θ.4+750-4+830, Χ.Θ.4+900-5+100 δεν χρειάζονται άμεση υποστήριξη σύμφωνα και με τις δύο μεθόδους. Περισσότερο αυξημένη υποστήριξη σύμφωνα με τη μέθοδο GSI απαιτούν οι αισβετούλιθοι των θέσεων Χ.Θ.2+900-3+000 και Χ.Θ.3+300-3+500. Αντίθετα, σύμφωνα με τη μέθοδο RMR ο αισβετούλιθικός όγκος της θέσης Χ.Θ.4+350-4+500 απαιτεί ισχυρότερη υποστήριξη.

ΣΥΜΠΕΡΑΣΜΑΤΑ

Η περιοχή της σήραγγας των Πλαταμώνα αποτελείται από οφειολίθους επωθημένους πάνω στα Τριαδικοίνορασικά ανθρακικά πετρώματα του καλύμματος της Πελαγονικής ζώνης. Η σήραγγα διατεργά οφειολίθικος σχηματισμούς. Κρητιδικό αισβετούλιθο, ιζήματα του Νεογενούς, σχηματισμούς του οφειολίθικου μήγματος, Τριαδικοίνορασικούς αισβετούλιθους του ανθρακικού καλύμματος της Πελαγονικής ζώνης, σχηματισμούς οφειολίθων επωθημένων επάνω στον παχυστρωματώδη αισβετούλιθο της Πελαγονικής ζώνης.

Οι γεωτεχνικές ταξινομίσεις της βραχογαλάζας σύμφωνα με τη μέθοδο του RMR (Beniawski, 1976) και με τη μέθοδο του Δείπτη Γεωλογικής Αντοχής (GSI, Hoek et al, 1998) έδειξαν πως ο σχηματισμός των οφειολίθων απαιτεί αυξημένα μέτρα υποστήριξης στις Χ.Θ.2+540-2+870 και Χ.Θ.3+500-3+550, ενώ οι θέσεις του παχυστρωματώδους αισβετούλιθου δεν απαιτούν άμεση υποστήριξη. Ισχυρή υποστήριξη σύμφωνα με τη μέθοδο RMR απαιτούν οι οφειολίθοι στις Χ.Θ.4+200-4+350 και Χ.Θ.4+830-4+900 καθώς και ο αισβετούλιθος της Χ.Θ.4+350-4+500. Η μέθοδος του Δείπτη Γεωλογικής Αντοχής (GSI) προτείνει ισχυρότερη υποστήριξη για τους αισβετούλιθους των Χ.Θ.2+900-300 και Χ.Θ.3+300-3+500. Οι αισβετούλιθοι που δεν χρειάζονται άμεση υποστήριξη, σύμφωνα με την περιπτώση της θέσης Χ.Θ.3+900-4+000, Χ.Θ.4400,

X.Θ.4+580-4+700 (παχυστρωματώδης αιθεοστόλιθος), X.Θ.4+750-4+830, X.Θ.4+900-5+100.

Σιγχρίνοντας τις τιμές των δύο μεθόδων προκύπτει ότι οι τιμές GSI έχουν μικρότερο εύρος από τις τιμές RMR με αποτέλεσμα η μέθοδος του Δεύτη Γεωλογικής Αντοχής να δίνει πιο λεπτομερή και πιο θεαλιστική περιγραφή των πραγματικών συνθηκών της βραχονάρας γεγονός που αντανακλά και στη λεπτομερέστερη περιγραφή των μέτρων υποστήριξης. Σύμφωνα με τα αποτελέσματα της έρευνας η μεταβολή των τιμών RMR και GSI ορίζεται από τη σχέση $GSI = 0,585RMR + 14,46$ εμφανίζοντας σημαντική συσχέτιση, $R^2=0,92$.

ΕΥΧΑΡΙΣΤΙΕΣ

Ευχαριστούμε την ΕΡΓΟΣΕ για τα στοιχεία που μας διέθεσε, τα οποία αξιολογήσαμε κατάλληλα με στόχο την εξαγωγή χρήσιμων συμπερασμάτων.

ΒΙΒΛΙΟΓΡΑΦΙΑ

- AFROUZ, A. (1992): "Rock Mass Classification Systems and Modes of Ground Failure", CRC Press, Inc., 2000 Corporate Blvd., N.W., Boca Raton, Florida, p.p.195.
- BENIAWSKI, Z.T. (1976): "Rock mass classification in rock engineering", Proc. Symp. Exploration Engineering, Johannesburg, pp. 97-106.
- HOEK, E. (1994): "Strength of rock and rock masses", ISRM News J, V2, pp. 4-16.
- HOEK, E. & BROWN, ET. (1998): "Practical estimates of rock mass strength", Int J Rock Mech Min Sci, V34, pp. 1165-1186.
- HOEK, E., MARINOS, P., BENISSI, M. (1998): "Applicability of the geological strength index (GSI) classification for very weak and sheared rock masses. The case of the Athens Schist Formation", Bull. Eng. Geol. Env., V57, pp. 151-160.
- I.G.M.E. (1987): "Γεωλογικός Χάρτης της Ελλάδος, κλίμακας 1:50.000 - Φύλλο Ραφάνη"
- Μουντράζης, Δ. (1985): "Γεωλογία της Ελλάδας", University Studio Press, Θεσσαλονίκη, 207p.